

توسيع عرض حزمة الانعكاسية العالية للمنطقة تحت الحمراء البعيدة: (١)

* هيفاء غازي رشيد

٢٠٠٤/٥/١٥ تاريخ قبول النشر

الخلاصة

تم توسيع عرض الانعكاسية العالية للمنطقة الطيفية تحت الحمراء البعيدة (μm ٨ - ١٤) معتمدين على: (١) ترتيب كومتين متراصتين نوع S [$0.5LH0.5L$] و S [$0.5HL0.5L$] والتحكم الدقيق بقيم رتبة الدورية الاساس (S) ، (٢) تراكب الكومتين المتراصتين (فقرة ١) والتحكم الدقيق بطول موجة التصميم لكل كومة لغرض ازالة النهاية الصغرى للانعكاسية التي تظهر في الطيف الممتد للانعكاسية العالية. استندت الدراسة على نظرية المصفوفة المميزة المعدلة ولسقوط الضوء قريب من العمودي على ترتيب متعدد الطبقات من مواد عازلة وبشكل اغشية رقيقة متجانسة ومتماثلة الخواص. اوضحت النتائج ، ان ترتيب الكومتين معتمد على قيم (S) يؤدي الى توسيع منطقة الانعكاسية العالية تارة وظهور نهاية صغرى للانعكاسية تارة اخرى والتي تصلح كمرشح امارات حزمة ضيقة . اما تراكب الكومتين والاختيار الدقيق لطول موجة التصميم لكل كومة و ادخال طبقة وسطية بين الكومتين من شأنه ان يلغى ظهور النهاية الصغرى جاعلا منطقة الانعكاسية العالية ممتدة على مدى واسع من الاطوال الموجية.

المقدمة

على التوالي. ويحدد عرض الانعكاسية العالية بالعلاقة [١] :

$$\Delta g = \frac{2}{m\pi} \sin^{-1} \left[\frac{n_H/n_L - 1}{n_H/n_L + 1} \right]$$

λ_0 / λ = العدد الموجي النسبي (Relative wave number) ، m - رتبة التداخل. درست مشكلة توسيع عرض الحزمة بطرائق شتى ، منها الطرائق التحليلية [٦-٢] و اخرى عديدة [٦] . ان اغلب هذه الطرائق تعتمد على التغير الطيفي في السمك البصري بدلا من التغير في عاملات انكسار المواد نظرا لمحدودية توفير المواد ضمن المنطقة الطيفية المطلوبة.

تنصف المرايا ذات الانعكاسية العالية والمصنعة من مواد عازلة (All-dielectric mirrors Limited) بعرض حزمة محددة (bandwidth) مرتبة بشكل كومة ذات طول موجة (Quarter-wave stack)، اي ، [١,٢] Air [HL]^S Substrate

حيث تشير S الى رتبة الدورية الاساس (Order of periodicity) ، $[HL]$ الدورية الاساس للكومة (Basic period of stack) . H ، L السمك البصري بربع طول موجة للطبقات ذات معامل انكسار العالى n_H والواطى n_L ويرتبط بسمك الطور δ (Phase) [thickness] بالعلاقة [١,٢] :

$$\delta_H = \delta_L = \frac{2\pi}{\lambda} n_L d_L = \frac{2\pi}{\lambda} n_H d_L$$

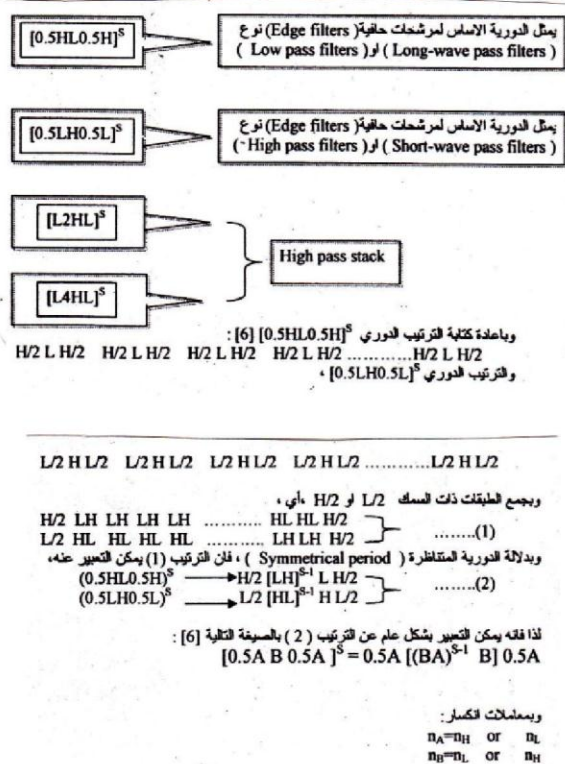
(Geometrical thickness) d_L ، d_H السمك الهندسي للطبقتين ذات معامل الانكسار العالى والواطى

الطرائق التحليلية
اقترن الباحثان Penslein & Stendel [٣] (اول المشغلين في معالجة عرض الحزمة) تغير السمك في الطبقات بشكل متوازية توافقية

[2,10,11] طريقة (Baumeister & Turner) و الرابط بين فقرة (1-a) و (2) مستخدما نظرية المصفوفة المميزة المعدلة [6].

النموذج التحليلي

لغرض توسيع حزمة الانعكاسية العالية ، فاننا اعتمدنا الكومة ذات الترتيب (pqp) وللأنواع :



النتائج والمناقشة

تم دراسة توسيع حزمة الانعكاسية العالية للمنطقة الطيفية ($14\mu\text{m}$ - $8\mu\text{m}$) معتمدين على نظرية المصفوفة المميزة المعدلة لحالة السقوط القريب من العمودي وعلى المراحل التالية:

اولاً : مقارنة النتائج النظرية للدراسة الحالية مع النتائج العملية للمصدر [2] كما موضح في الشكل (1A-B) والجدولين (1,2) يلخصان هذه النتائج. ان هاذين الشكلين يصلحان كمرشحات حافة لامرار الاطوال الموجية الطويلة والقصيرة وعلى التوالي وان الاختيار الامثل له يمكننا من ازاحة منطقة النفاذية العالية وحسب المنطقة الطيفية المطلوبة. اما لمادة الجرمانيوم كاساس [(2 A-B)] ، فعند استخدام ترتيب الكومتين [جدول (1 او 2)] فاننا

& Liddell (Harmonic progression). اما (Arithmetic or geometric progression) فقد اعتمدوا نفس الطريقة الا ان سمك الطبقات يتغير بشكل متوازية هندسية وآخرى عديدة (Necessary & sufficient condition) ظهور الانعكاسية العالية للكومة ذات سمك رباع طول موجة لكل طبقة: M هي مصفوفة الدوري الاساس لكومة.اما

$$\text{Trace } M \geq 2$$

الدراسة المقمة من قبل الباحثين (Baumeister & Turner) ، فانها تعد من الدراسات ذات الاهمية والشموليـة ، فقد اعتمدوا طريقتين لتوسيع حزمة الانعكاسية العالية :

(1) ترتيب الكومات ذات الانعكاسية العالية (Contiguous of high reflectance stacks) وهما على نوعين:

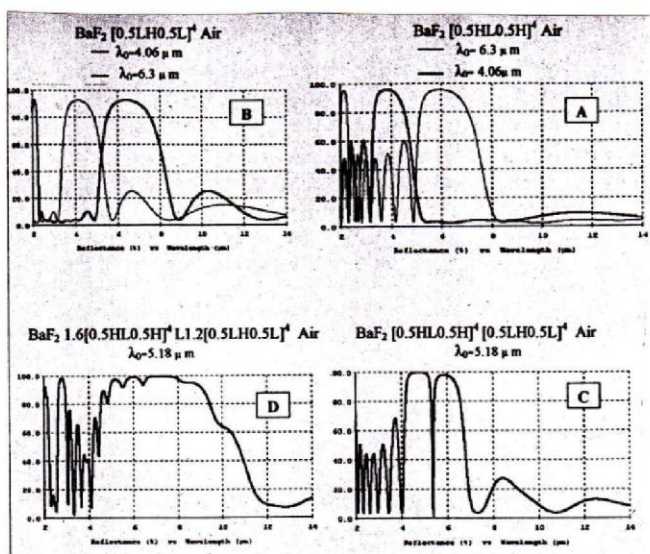
- (a) ترتيب كومتين او اكثر على نفس الأرضية الاساس والتحكم بطول موجة التصميم لكل كومة،
- (b) ترتيب كومتين او اكثر على نفس الأرضية الاساس وبسمك لايساوي رباع طول موجة.

(2) تراكب الكومات ذات الانعكاسية العالية

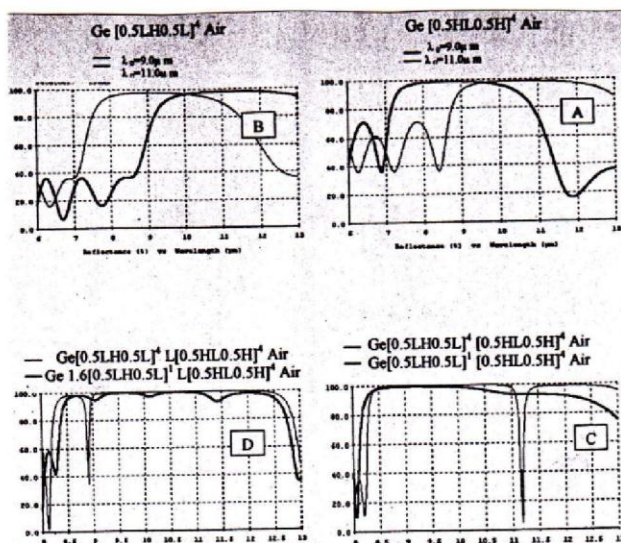
(Overlapping of high reflectance stacks) وكل كومة لغرض ازالة النهاية الصغرى العميقه لانعكاسية (Deep minimum reflectance) التي تظهر في الطيف الممتد لانعكاسية العالية. اعتمد الحسابات على نظريتي المصفوفة (Characteristic matrix theory) ونظرية الطبقة المكافئة [8,9] مستخدمين الزجاج الاعتيادي و BaF₂ كارضيات اساس لمنطقتي الطيف المرئي وتحت الحمراء وعلى التوالي.

الطرائق العددية

اجرت الباحثة (Rashid) [6] دراسة تفصيلية للتصميم الامثل للمرايا ذات الانعكاسية العالية وعالجت مشكلة عرض الحزمة المحددة الذي يرافق عادة المرايا المكونة من مواد عازلة اضافة الى دراسة كافية سطح (Flatness) قمة الانعكاسية العالية باعتماد الطرائق العددية المثلثي. تهدف الدراسة الحالية الى توسيع حزمة الانعكاسية العالية المكونة من مواد عازلة باعتماد



شكل (١) الانكسادية دالة للطول الموجي للتصاميم :
 $n_{\text{H}}(\text{Stibniate})=2.70$, $n_{\text{L}}(\text{Chiolate})=1.35$, $n_{\text{S}}(\text{BaF}_2)=1.45$.



شكل (٢) الانكسادية مقابل الطول الموجي للتصاميم :
 $n_{\text{H}}(\text{Ge})=n_{\text{L}}(\text{Ge})=4.00$, $n_{\text{S}}(\text{ZnS})=2.20$, $\lambda_0 = 10.6 \mu\text{m}$

التصاميم	جدول (١) المراسنات النية للتصاميم والمولد المستخدمة	
	دراسة قابلية [٢]	دراسة قدرة
(Low index) n_{L}	Chiolate	ZnS
	1.35	2.20
(High index) n_{H}	Stibniate	Ge
	2.70	4.0
(Substrate index) n_{S}	BaF ₂	Ge
	1.45	4.0
$\lambda_{01} (\mu\text{m})$	6.30	9.0
$\lambda_{02} (\mu\text{m})$	4.06	11.0

نحصل على مرشحات حافية تسمح بامرار الاطوال الوجية القصيرة فقط ويفضل التصميم (A - B) بدلا عن (A - B) بعد ازالة القسم الثانوية في منطقة الفاوزية العالية.

ثانياً : ترتيب كومتين متاظرين من نوعين مختلفتين ترسب على مادتي BaF₂ وGe كاساس ويتم التحكم الدقيق بطول موجة التصميم λ_0 ، كما موضح في الشكل (1&2-C) حيث نلاحظ مايلي :

- ان ظهور النهاية الصغرى في طيف الانعكاسية العالية يصلح كمرشح امرار حزمة ضيقة ويظهر لمادة الجermanium عندما تتبادل مواقع الكومتين مقارنة بحالة BaF₂ وهو افضل من تصميم مرشح فابري - بيرو [6] المستخدم عادة في النوع من المرشحات.

▪ تزال النهاية الصغرى في منحنى الانعكاسية بمجرد التحكم بقيمة S .

- يعمل هذا التصميم [شكل (1-C)] عمل طلاء مضاد للانعكاس لمنطقة الطيفية (8-14 μm) والجدول (2) يلخص هذه الظواهر .

ثالثاً : تراكب الكومتين (فقرة ثانياً) والتحكم الدقيق بالسمك البصري للكومتين وادخال طبقة وسطية من شأنه ان يزيل النهاية الصغرى [شكل (1-D)] موسعا بذلك منطقة الانعكاسية العالية ، الا ان الاداء البصري وللمنطقة الطيفية المطلوبة (8-14 μm) سيظهر عمل مرشح حافة للاطوال الموجية الطويلة بعد تحسين اداهما البصري.اما لحالة Ge [شكل (2-D)] فان تراكب الكومتين (فقرة ثانياً) وادخال طبقة وسطية يؤدي الى ازحة موقع النهاية الصغرى من 8.8 μm الى 11.2 μm ، اما التحكم بالسمك البصري للكومة فانه يسبب ازالة لهذا الانخفاض جاعلا المنطقة الطيفية (8-14 μm) منطقة انعكاسية عالية ممتدة بعرض حزمة 4.5 μm ، والجدول (3) يلخص هذه النتائج .

جدول (2) مقارنة النتائج النظرية للدراسة الحالية مع نتائج [2] Baumeister and Turner

التصاميم	نوع القراءة وطول موجة التصميم (nm)	نوع القراءة وطول موجة التصميم (nm)	رقم الشكل	الملاحظات
I. Low-frequency pass stacks $BaF_2 [0.5H0.5H]^4$ Air	صلي 4.05&, 6.3μm [2]	نظري 4.06&, 6.3μm	(1-A)	يصلح كمرشح حالي (Edge Filter) (Long-wave pass filter) نوع
II. High-frequency pass stacks $BaF_2 [0.5LH0.5L]^4$ Air	صلي 4.05&, 6.3μm [2]	نظري 4.06&, 6.3μm	(1-B)	يصلح كمرشح حالي (Edge Filter) (Short-wave pass filter) نوع
III. $BaF_2 [0.5HL0.5H]^4 [0.5LH0.5L]^4$ Air	-	نظري 5.18 μm	(1-C)	يصلح لأن يكون مرشح لاماراز حزمة ضيقة حيث يظهر الانخفاض شديد في منطقة الانعكاسية العالية
IV. $BaF_2 1.6[0.5HL0.5H]^4 L$ $1.2[0.5LH0.5L]^4$ Air	-	نظري 5.18 μm	(1-D)	يصلح كمرايا ممددة الحزمة بعد ان علجت فيها الانخفاض الحاد في الانعكاسية

$n_t(\text{Chioliate})=1.35$, $n_t(\text{Stibnite})=2.70$, $n_s(BaF_2)=1.45$
 $n_Ld_L=n_Hd_H = \lambda_0/4$ for spectral region (2 - 14 μ m)

جدول (3) الدراسة الحالية المتباعدة مادة الجرمانيوم كأسس

التصاميم	نوع الدراسة وطول موجة التصميم (nm μm)	رقم الشكل	الملاحظات
I. Low-frequency pass stacks $Ge [0.5HL0.5H]^4$ Air	9.0 ,11.0	(2-A)	يصلح كمرشح حالي لاماراز الاطوال الموجية القصيرة
II. High-frequency pass stacks $Ge [0.5LH0.5L]^4$ Air	9.0 ,11.0	(2-B)	يصلح كمرشح حالي لاماراز الاطوال الموجية القصيرة وهو افضل من ترتيب I.
III. (1) $Ge [0.5LH0.5L]^4 [0.5HL0.5H]^4$ Air (2) $Ge [0.5LH0.5L]^4 [0.5HL0.5H]^4$ Air	10.6 10.6	- (2-C) - (2-C)	(1) تراكب الكومتين I و II يؤدي إلى ظهور انخفاض حاد في منطقة الانعكاسية العالية عند طول موجة 11.2 μm ويصلح مرشح لاماراز حزمة ضيقة. (2) يصلح كمرايا ذات الانعكاسية ممددة بذرازنة النهاية الصفرى للانعكاسية
IV. (1) $Ge [0.5LH0.5L]^4 L [0.5HL0.5H]^4$ Air (2) $Ge 1.6[0.5LH0.5L]^4 L 1.2[0.5HL0.5H]^4$ Air	10.6 10.6	- (2-D) - (2-D)	(1) تراكب الكومتين III و ادخال طبقة وسطية سمكها البصري ربع طول موجة يصل على زاوية النهاية الصفرى للانعكاسية من 8.85 μm - 11.2 μm (2) تراكب الكومتين III و التحكم في سمك الكومتين يؤدي إلى توسيع منطقة الانعكاسية العالية إلى 4.50 μm

$n_t(ZnS)=2.20$, $n_t(Ge)=4.0$, $n_s(Ge)=4.0$
 $n_Ld_L=n_Hd_H = \lambda_0/4$ for spectral region (2 - 14 μ m)

الاستنتاجات

ما نقدم يمكن أن نستنتج مايلي:

- ان تراكب الكومتين المتوازن نوع $[0.5L H 0.5L]^S [0.5H L 0.5H]^S$ والتحكم الدقيق بطول موجة التصميم لكل كومة من شأنه ان يوسع عرض الحزمة ، الا ان ادخال طبقة وسطية بين الكومتين والسيطرة على سمكها البصري ومعامل انكسارها يحسن عرض الحزمة بشكل كبير وملحوظ.
- ان ترتيب كومتين متوازن نوع $[0.5L H 0.5L]^S [0.5H L 0.5H]^S$ والتحكم الدقيق برتبة الدورية الاساس S من شأنه ان يوسع عرض حزمة الانعكاسية العالية مزيلا بذلك النهاية الصغرى للانعكاسية، وقد لوحظت هذه الظاهرة في المنطقة الطيفية تحت الحمراء البعيدة فقط، في نفس الوقت ان ترتيب الكومتين الانفتبي الذكر يصلح لتصميم مرشح اماراز حزمة ضيقة افضل من التصاميم المعتمدة على مرشح فابري-سيرو [6] المستخدمة اساسا في تصميم هذا النوع من المرشحات.

REFERENCES

1. Driscoll, W.G.,and Vaughan W. , 1978, Handbook of Optics , McGraw - Hill, New York.
2. Turner, A.F. and Baumeister P.W.,1966, "Multilayer mirrors with high reflectance over an extended spectral region ,"
Appl.Opt. ,Vol.5,PP.69-76.

- Ph.D. Thesis , Al-Mustansiriyah University.
7. Macleod, H.A., 2001, Thin Film Optical Filters, Mc Graw-Hill company , New York.
 8. Epstein, L.I , 1952," The design of optical filters, " J.Opt.Soc. Am., Vol. 42, PP.806-10.
 9. Thelen, A.J.,1966 , "Equivalent layers in multilayers filters ", J.Opt.Soc.Am. Vol.5,PP.1533-38.
 10. Baumeister, P.,1996,"Multilayer reflectors with absent higher-order reflectance bands",Appl.Opt. , Vol. 35,PP.4978-81.
 11. Kim, S.H.,and Hwangbo C.K.,2002,"Design of omnidirectional high reflectors with quarter-wave dielectric stacks for optical communication bands", Appl. Opt.,Vol.41,PP.3187-92.
 3. Penslein, L.I., znd Stendel A., 1955, "Fabry-Perot interferometerverspiegelungen aus dielektrischen vielfachscitzen , " Z.Phys.,Vol.142,PP.21-41.
 4. Heavens, O.S ,and Liddell H.M.,1966, " Straggered broadband reflecting multilayers," Appl.Opt.,Vol.5,PP.374-76.
 5. Abele's, F.,1950 , "Recherche' sur la propgation des on des electromagne'tique sinusida les dans les milieux stratifie application aux couches minces , " Ann de Physique,Vol.5,PP.596-640.
 6. Rashid, H.Gh.,1997," Design and Optimization of Thin -Film Optical Filters with Applications in Visible and Infrared Regions,

EXTENSION OF HIGH REFLECTANCE BAND WIDTH FOR FAR INFRARED SPECTRAL REGION : (1)

HAIFA'A GH. RASHID

**Assistance Professor-Physics Department-College of Education-
Al-Mustansiriyah University**

ABSTRACT

Extension of bandwidth for high reflectance zone for the spectral region ($8-14\mu\text{m}$) was studied adapting the concept of contiguous and overlapping high reflectance stacks. Computations was carried out using the modified characteristic matrix theory restricted to near-normal incidence of light on dielectric , homogenous and isotropic symmetrical stack. Certain precautions must be taken in the choice of stacks to avoid deep -reflectance minima from developing within the extended high reflectance region. Results illustrate that the techniques of extending the high reflectance regions are applicable not only to mirrors , but also to short-and long-edge filter and to narrow band pass filters.

Key words: Periodic Stack , All-dielectric mirrors, Reflectance, Optical filters